УЛК 536.413:546.185

# СИНТЕЗ И ИССЛЕДОВАНИЕ ТЕПЛОВОГО РАСШИРЕНИЯ НОВОГО СЕМЕЙСТВА ФОСФАТОВ — АНАЛОГОВ $\alpha$ -CaMg<sub>2</sub>(SO<sub>4</sub>)<sub>3</sub>

© 2021 г. В. И. Петьков<sup>1, \*</sup>, Д. А. Лавренов<sup>1</sup>, А. М. Ковальский<sup>2</sup>

<sup>1</sup>Национальный исследовательский Нижегородский государственный университет им. Н.И. Лобачевского, пр. Гагарина, 23, Нижний Новгород, 603950 Россия

<sup>2</sup>Национальный исследовательский технологический университет "Московский институт стали и сплавов", Ленинский пр., 4, Москва, 119049 Россия

> \*e-mail: petkov@chem.unn.ru Поступила в редакцию 23.02.2021 г. После доработки 03.04.2021 г.

Принята к публикации 05.04.2021 г.

Ві $F_{e_2}(PO_4)_3$  и твердый раствор Ві $_{1-x}$ Sb $_x$ Cr $_2(PO_4)_3$  (0 < x < 1), образующие изоструктурное семейство с α-CaMg $_2(SO_4)_3$  (пр. гр.  $P6_3/m$ ), получены упариванием раствора солей с последующей термообработкой и исследованы с помощью порошковой рентгенографии и электронно-зондового микроанализа. Методом терморентгенографии определены параметры теплового расширения фосфатов в диапазоне от 173 до 473 К. При изменении температуры фосфаты расширяются анизотропно, не претерпевая полиморфных переходов. Ві $F_{e_2}(PO_4)_3$  и твердый раствор Ві $_{1-x}$ Sb $_x$ Cr $_2(PO_4)_3$  относятся к низкорасширяющимся материалам, средние коэффициенты линейного расширения которых  $\alpha_{av}$  меньше  $2 \times 10^{-6}$  K $^{-1}$ .

**Ключевые слова:** фосфаты, синтез, фазообразование, рентгенография, термический анализ **DOI:** 10.31857/S0002337X2108025X

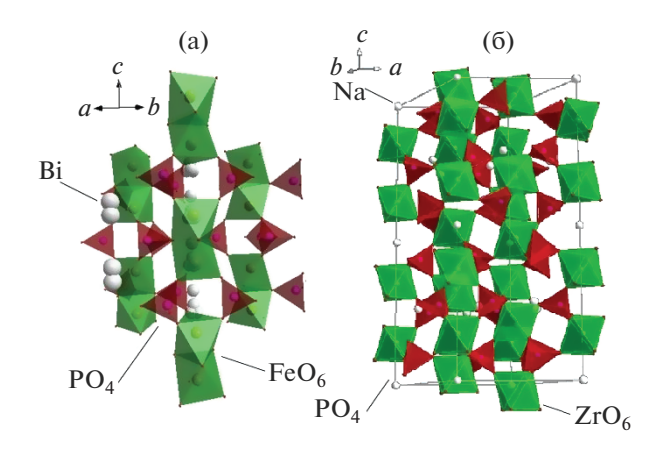
## введение

Фосфаты с тетраэдрическими оксоанионами  $PO_4$  представляют собой разнообразный в структурном отношении класс неорганических соединений [1]. Интерес к ним как новым перспективным материалам появился у исследователей благодаря уникальному сочетанию у некоторых фосфатов химической и радиационной стойкости в различных экстремальных условиях, высокой термической стабильности и стойкости к термоударам, повышенной трещиностойкости [2—7].

Замещение атомов натрия в известном фосфате  $Na_3Fe_2(PO_4)_3$  [3, 8] со структурой NASICON элементами в степени окисления 3+ позволило нам синтезировать еще не изученные фосфаты  $M^{3+}Fe_2(PO_4)_3$  и, в более общем случае,  $MM_2'(PO_4)_3$  (M'=Fe,Cr). В качестве M-катионов были выбраны висмут и сурьма, обладающие большими ионными радиусами и поляризуемостью неподеленной электронной пары, которые способствуют появлению у кристаллов фосфатов магнитных и диэлектрических свойств.

Изоструктурные  $BiFe_2(PO_4)_3$  и твердый раствор  $Bi_{1-x}Sb_xCr_2(PO_4)_3$  относятся к новому для фосфатов, но известному для сульфатов структур-

ному типу  $\alpha$ -CaMg<sub>2</sub>(SO<sub>4</sub>)<sub>3</sub> (пр. гр.  $P6_3/m$ ) [9, 10]. Сопоставление структур  $BiFe_2(PO_4)_3$  (Z=6, пр. гр.  $P6_3/m$ , a = 14.3115, c = 7.4311 Å) и изоформульного фосфата NaZr<sub>2</sub>(PO<sub>4</sub>)<sub>3</sub> со структурой NASICON  $(Z = 6, \text{ np. rp. } R\overline{3}c, a' = 8.8045, c' = 22.7585 \text{ Å})$  [11] показывает определенное сходство (рис. 1). Они принадлежат гексагональной сингонии. Элементарная ячейка структуры  $NaZr_2(PO_4)_3$  утраивается (a' немного меньше a и c' ≈ 3c) по отношению к элементарной ячейке  $BiFe_2(PO_4)_3$ , а атомы Bi и Feзаменены на Na и Zr соответственно. Хотя между пр. гр.  $R\overline{3}c$  и  $P6_3/m$  нет прямого соответствия группа симметрии-подгруппа, сходство очевидно в отношении связи цепей с помощью тетраэдров РО<sub>4</sub>. Различие между структурами заключается в природе и укладке колонок. В  $BiFe_2(PO_4)_3$ присутствуют два типа цепочек: одна – бесконечные колонки из соединенных друг с другом по ребрам ВіО<sub>6</sub>-октаэдров, вторая – столбцы димеров  $Fe_2O_9$  (рис. 1a). В  $NaZr_2(PO_4)_3$  реализован только один тип колонок – с одним NaO<sub>6</sub>- и двумя ZrO<sub>6</sub>-октаэдрами. По аналогии с димерами  $Fe_2O_9$  образованные в  $NaZr_2(PO_4)_3$  фрагменты ...- $ZrO_6$ - $\Box$ - $ZrO_6$ -Na- $ZrO_6$ -... укладываются в колонку с образованием пустых тригональных призм (□) из атомов кислорода, а эти колонки свя-



**Рис. 1.** Фрагменты структуры  $BiFe_2(PO_4)_3$  (a) и  $NaZr_2(PO_4)_3$  (б).

зываются друг с другом через изолированные фосфатные тетраэдры, образуя трехмерный каркас (рис. 1б).

Для использования материалов при повышенных температурах необходимы сведения о термическом поведении кристаллических веществ: анизотропии теплового расширения, фазовых и структурных преобразованиях. Цель данной работы — изучение характеристик теплового расширения первых представителей фосфатов с новым типом строения (структурный тип  $\alpha$ -CaMg<sub>2</sub>(SO<sub>4</sub>)<sub>3</sub>) — BiFe<sub>2</sub>(PO<sub>4</sub>)<sub>3</sub> и Bi<sub>1-x</sub>Sb<sub>x</sub>Cr<sub>2</sub>(PO<sub>4</sub>)<sub>3</sub> — и влияния эффекта изовалентного замещения висмута на сурьму на параметры теплового расширения.

#### ЭКСПЕРИМЕНТАЛЬНАЯ ЧАСТЬ

Поликристаллические образцы  $BiFe_2(PO_4)_3$  и  $Bi_{1-x}Sb_xCr_2(PO_4)_3$  (x = 0, 0.25, 0.50, 0.75, 1.0) были получены упариванием раствора солей с последующей термообработкой. При синтезе использовали реагенты квалификации "х. ч.". Для синтеза фосфатов стехиометрические количества Ві<sub>2</sub>О<sub>3</sub> и  $Fe_2O_3$  или  $Bi_2O_3$ ,  $Sb_2O_3$  и  $Cr(CH_3COO)_3$  растворяли при нагревании в растворе соляной кислоты. Затем при перемешивании добавляли раствор фосфорной кислоты, взятый также в соответствии со стехиометрией образца. Реакционные смеси высушивали при 363-473 К, диспергировали и подвергали териообработке на воздухе при 873, 1073, 1273 К не менее 24 ч на каждой стадии. Поэтапный нагрев образцов чередовали с диспергированием для увеличения степени гомогенности.

Контроль химического состава и однородности полученных фосфатов осуществляли с помощью растрового электронного микроскопа (РЭМ) JEOL JSM-7600F. Микроскоп оснащен системой

микроанализа — энергодисперсионным спектрометром OXFORD X-MaxN 20. Погрешность при определении элементного состава образцов составляла не более 2 ат. %.

Рентгенограммы образцов записывали на дифрактометре Shimadzu XRD-6000 ( $CuK_{\alpha}$ -излучение,  $\lambda=1.54178$  Å, диапазон углов  $2\theta=10^{\circ}-60^{\circ}$ ). Рентгенофазовый анализ (**РФА**) использовали для установления фазового состава образцов в процессе их получения после каждого этапа изотермического обжига и контроля однофазности полученных фосфатов.

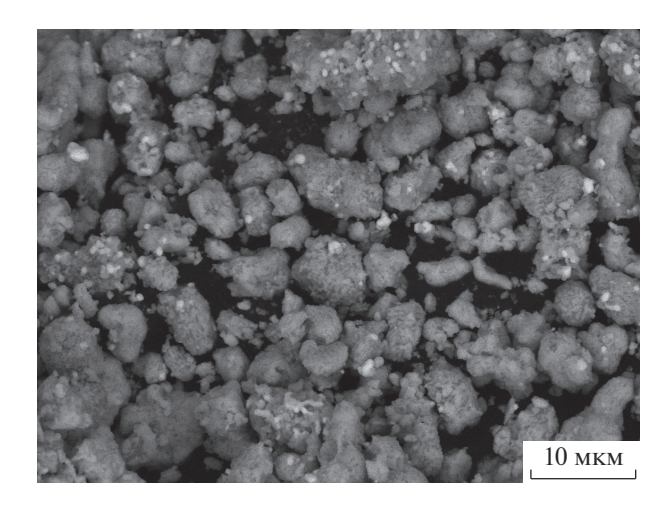
Использование терморентгенографии позволило получить прямую информацию о тепловом расширении кристаллической решетки и преобразовании кристаллической структуры, фиксирующихся по термическому изменению дифракционной картины. Температурную съемку осуществляли на том же дифрактометре с использованием температурной приставки Anton Paar TTK 450 с лискретным режимом изменения температуры в интервале от 173 до 473 К с шагом 50 К. В качестве внутреннего стандарта при съемке использовали кристаллический Si. Параметры элементарных ячеек определяли по проиндицированным рентгенограммам. Охлаждение образцов проводили контролируемым потоком жидкого азота. Перед началом съемки образцы выдерживали при заданной температуре в течение 10 мин. Скорость нагревания составляла 10 К/мин. Температуру измеряли термометром сопротивления Pt100 RTD.

### РЕЗУЛЬТАТЫ И ОБСУЖДЕНИЕ

Полученные фосфаты  $BiFe_2(PO_4)_3$  и  $Bi_{1-x}Sb_xCr_2(PO_4)_3$  представляли собой поликристаллические порошки. Результаты РЭМ и микрозондового анализа показали, что образцы гомогенны и представляют собой частицы различной формы (рис. 2), их химический состав соответствует теоретическому в пределах погрешности метода.

Отжиг образцов  $BiFe_2(PO_4)_3$ ,  $Bi_{1-x}Sb_xCr_2(PO_4)_3$  при 1073 K приводил к образованию однофазных продуктов. По данным  $P\Phi A$ , образцы кристаллизуются в структурном типе  $\alpha$ - $CaMg_2(SO_4)_3$  (пр. гр.  $P6_3/m$ ). Рентгенограммы образцов  $Sb_xBi_{1-x}Cr_2(PO_4)_3$  аналогичны рентгенограмме  $BiFe_2(PO_4)_3$ , но наблюдается плавное смещение дифракционных максимумов (рис. 3). Повышение температуры увеличивает интенсивности отражений на рентгенограммах, что свидетельствует о росте степени кристалличности фосфатов.  $BiFe_2(PO_4)_3$  является конгруэнтно плавящимся при температуре  $1313 \pm 5$  К химическим соединением. Фосфаты  $Bi_{1-x}Sb_xCr_2(PO_4)_3$  ( $0 \le x \le 1$ ) устойчивы до 1473 K.

Концентрационная зависимость параметров элементарных ячеек образцов  $Bi_{1-x}Sb_xCr_2(PO_4)_3$ 

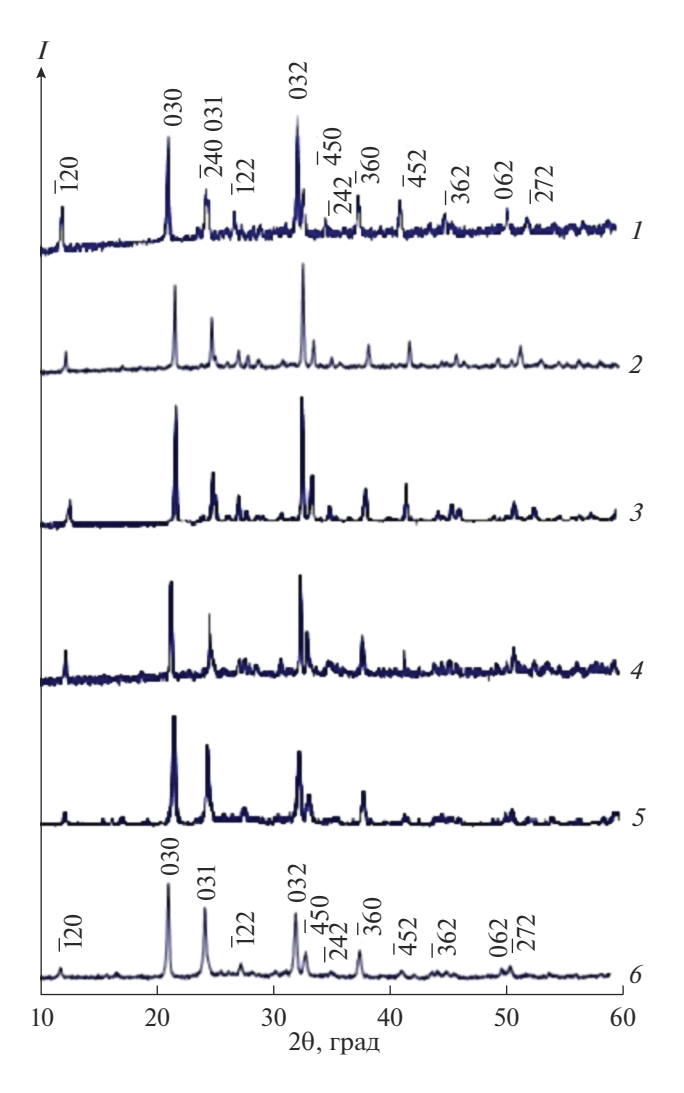


**Рис. 2.** РЭМ-изображение порошка  $BiFe_2(PO_4)_3$ .

была аппроксимирована линейно (a=14.174+0.116x, c=7.4046-0.0664x, V=1287.4+7.56x, x=0-1.0). Монотонное изменение параметров ячеек с ростом x свидетельствует об образовании неограниченного твердого раствора в соответствии с правилом Вегарда.

Тепловое расширение  $BiFe_2(PO_4)_3$  и твердого раствора  $Bi_{1-x}Sb_xCr_2(PO_4)_3$ , изученное в области температур от 173 до 473 K, оказалось анизотропным: прослеживается тенденция незначительного изменения параметра c и увеличения параметра a с ростом температуры (рис. 4). Температурная зависимость для параметров элементарной ячейки  $Bi_{1-x}Sb_xCr_2(PO_4)_3$ , так же как и концентрационная, может быть аппроксимирована линейно; для  $BiFe_2(PO_4)_3$ :  $a=14.301+6\times 10^{-5}T$ ,  $c=7.4261-3\times 10^{-5}T$ , V=1315.4+0.0057T. По результатам терморентгенографических измерений вычислены количественные характеристики теплового расширения (табл. 1).

Тепловое расширение напрямую зависит от типа и силы химических связей в структуре: чем больше деформируются связи между атомами, тем ангармоничнее колебания, больше их амплитуда и больше тепловое расширение. При изменении температуры РО<sub>4</sub>-полиэдры могут лишь разворачиваться друг относительно друга вокруг



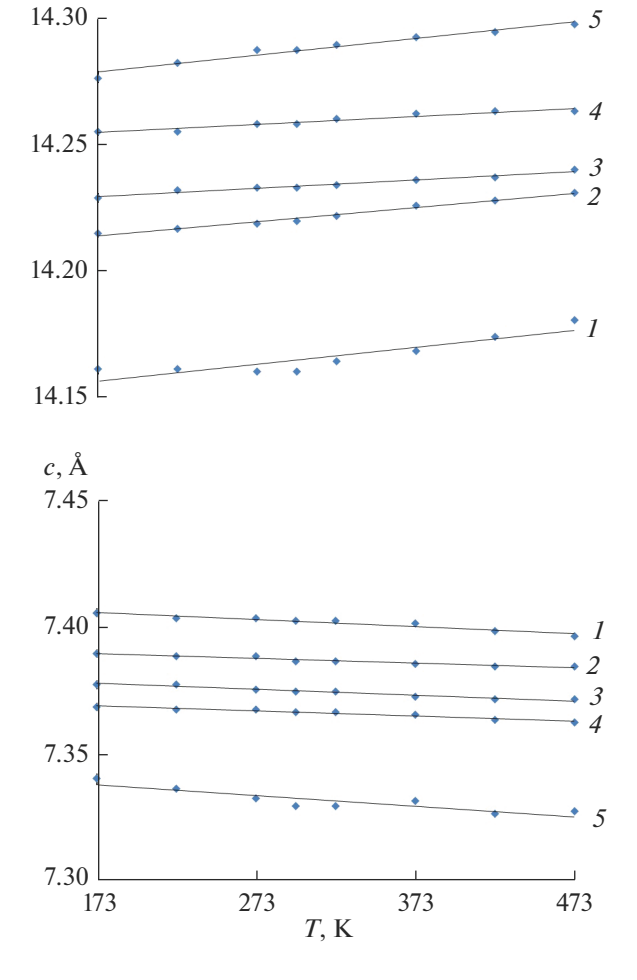
**Рис. 3.** Рентгенограммы фосфатов:  $1-\mathrm{BiFe_2(PO_4)_3}$ ,  $2-\mathrm{BiCr_2(PO_4)_3}$ ,  $3-\mathrm{Sb_{0.25}Bi_{0.75}Cr_2(PO_4)_3}$ ,  $4-\mathrm{Sb_{0.5}Bi_{0.5}Cr_2(PO_4)_3}$ ,  $5-\mathrm{Sb_{0.75}Bi_{0.25}Cr_2(PO_4)_3}$ ,  $6-\mathrm{SbCr_2(PO_4)_3}$ .

общих атомов кислорода, практически не изменяя свои конфигурацию и размер [12]. В то же время,  $\mathrm{Bi}^{3+}$  и  $\mathrm{Sb}^{3+}$ , являясь электронными аналогами (близки значения электроотрицательностей, электронное строение, тип химической связи), имеют высокую поляризуемость, а наличие заполненных *ns*-орбиталей, вакантных *np*- и

**Таблица 1.** Коэффициенты теплового расширения и анизотропия фосфатов  $Sb_{r}Bi_{1-r}Cr_{2}(PO_{4})_{3}$ 

x	$\alpha_a \times 10^6,  \mathrm{K}^{-1}$	$\alpha_c \times 10^6,  \mathrm{K}^{-1}$	$\alpha_{av} \times 10^6,  \mathrm{K}^{-1}$	$\alpha_V \times 10^6,  \mathrm{K}^{-1}$	$ \alpha_a - \alpha_c  \times 10^6,  \mathrm{K}^{-1}$
0	4.9	-4.1	1.9	5.7	9.0
0.25	4.2	-2.7	1.9	5.7	6.9
0.50	2.1	-2.7	0.5	1.5	4.8
0.75	2.1	-2.7	0.5	1.5	4.8
1.0	4.9	-5.5	1.4	4.3	10.4

a. Å



**Рис. 4.** Температурные зависимости параметров элементарных ячеек фосфатов  $\operatorname{Sb}_x \operatorname{Bi}_{1-x} \operatorname{Cr}_2(\operatorname{PO}_4)_3$ : x=0 (*I*), 0.25 (*2*), 0.50 (*3*), 0.75 (*4*), 1.0 (5) (размер экспериментальных точек соответствует неопределенности 0.003 Å).

nd-оболочек приводит к относительно легкой деформации внешних электронных оболочек. В  $BiFe_2(PO_4)_3$  и  $Bi_{1-x}Sb_xCr_2(PO_4)_3$  бесконечные колонки из соединенных друг с другом по ребрам BiO<sub>6</sub>- или (Bi,Sb)O<sub>6</sub>-октаэдров сильно деформированы в отличие от столбцов димеров (Fe<sub>2</sub>O<sub>9</sub> или  $Cr_2O_9$ ) меньшего размера [11]. Таким образом, расположение слоев полиэдров (Bi/Bi,Sb)O<sub>6</sub> в структуре обусловливает наибольшее тепловое расширение. Поскольку цепочки (Bi/Bi,Sb)O<sub>6</sub>октаэдров и димеров (Fe<sub>2</sub>/Cr<sub>2</sub>)O<sub>9</sub> ориентированы параллельно оси c, свидетельствуя о наибольшей прочности связи в данном направлении, можно ожидать проявления наименьшего теплового расширения именно вдоль оси c, что подтверждается экспериментальными данными (табл. 1). Для BiFe<sub>2</sub>(PO<sub>4</sub>)<sub>3</sub> ( $\alpha_a = 4.0 \times 10^{-6} \text{ K}^{-1}$ ,  $\alpha_c = -3.1 \times 10^{-6} \text{ K}^{-1}$ ,  $\alpha_{av} = 1.6 \times 10^{-6} \text{ K}^{-1}$ ) и образцов твердого раствора  $Bi_{1-x}Sb_xCr_2(PO_4)_3$  характерны противоположные по знаку и близкие по величине коэффициенты теплового линейного расширения (КТЛР), что должно помочь в поиске новых керамик с регулируемым, в том числе ультрамалым, расширением.

Следствием различного теплового расширения в различных направлениях у однофазного материала являются механические напряжения на границах зерен, достаточные для того, чтобы вызвать растрескивание и нарушение сплошности изделия. Минимальной анизотропией расширения при небольшом значении среднего КТЛР характеризуются  $Sb_{0.5}Bi_{0.5}Cr_2(PO_4)_3$  и  $Sb_{0.75}Bi_{0.25}Cr_2(PO_4)_3$ , для которых  $\alpha_{av}=0.5\times 10^{-6}~\mathrm{K}^{-1}$  и  $|\alpha_a-\alpha_c|=4.8\times 10^{-6}~\mathrm{K}^{-1}$ . Изменяя состав твердого раствора, можно получать материалы с регулируемыми малыми КТЛР и анизотропией расширения [13]. Описанные фосфаты характеризуются малыми КТЛР и анизотропией расширения и относятся к низкорасширяющимся материалам.

#### **ЗАКЛЮЧЕНИЕ**

Изоструктурные  $BiFe_2(PO_4)_3$  и твердый раствор  $Bi_{1-x}Sb_xCr_2(PO_4)_3$  — первые представители фосфатов со структурой типа  $\alpha$ - $CaMg_2(SO_4)_3$  (пр. гр.  $P6_3/m$ ) — получены упариванием раствора солей с последующей термообработкой.

Определены параметры теплового расширения фосфатов в интервале температур от 173 до 473 К. Изученные фосфаты характеризуются малыми КТЛР ( $\alpha_{av}$  < 2 ×  $10^{-6}$  K) и относятся к низкорасширяющимся материалам. Изменяя состав твердого раствора  $\mathrm{Bi}_{1-x}\mathrm{Sb}_x\mathrm{Cr}_2(\mathrm{PO}_4)_3$ , можно получать материалы с регулируемыми малыми КТЛР ( $0.5 \times 10^{-6} \le \alpha_{av} \le 1.9 \times 10^{-6}$  K $^{-1}$ ) и анизотропией расширения ( $4.8 \times 10^{-6} \le |\alpha_a - \alpha_e| \le 10.4 \times 10^{-6}$  K $^{-1}$ ).

#### БЛАГОДАРНОСТЬ

Работа выполнена при финансовой поддержке грантов РФФИ № 18-29-12063"мк" и 20-33-90014.

#### СПИСОК ЛИТЕРАТУРЫ

- 1. Bohre A., Avasthi K., Pet'kov V.I. Vitreous and Crystalline Phosphate High Level Waste Matrices: Present Status and Future Challenges // J. Ind. Eng. Chem. 2017. V. 50. P. 1–14. https://doi.org/10.1016/j.jiec.2017.01.032
- 2. Barth S., Olazcuaga R., Gravereau P., Le Flem G., Hagenmuller P. Mg<sub>0.5</sub>Ti<sub>2</sub>(PO<sub>4</sub>)<sub>3</sub> a New Member of the NASICON Family with Low Thermal Expansion // Mater. Lett. 1993. V. 16. № 2–3. P. 96–101. https://doi.org/10.1016/0167-577X(93)90031-R
- 3. *Yaroslavtsev A.B.*, *Stenina I.A.* Complex Phosphates with the NASICON Structure (M<sub>x</sub>A<sub>2</sub>(PO<sub>4</sub>)<sub>3</sub>) // Russ. J. Inorg. Chem. 2006. V. 51. Suppl. P. 97–116.

- Петьков В.И. Сложные фосфаты, образованные катионами металлов в степенях окисления I и IV // Успехи химии. 2012. Т. 81. № 7. С. 606—637.
- Zhu Y., Kanamori K., Moitra N., Kadono K., Ohi S., Shimobayashi N., Nakanishi K. Metal Zirconium Phosphate Macroporous Monoliths: Versatile Synthesis, Thermal Expansion and Mechanical Properties // Microporous Mesoporous Mater. 2016. V. 225. P. 122–127. https://doi.org/10.1016/j.micromeso.2015.12.002
- 6. *Balaji D., Mandlimath T.R., Kumar S.P.* Influence of Tin Substitution on Negative Thermal Expansion of K<sub>2</sub>Zr<sub>2 x</sub>Sn<sub>x</sub>P<sub>2</sub>SiO<sub>12</sub> (x = 0−2) Phosphosilicates Ceramics // Ceram. Int. 2020. V. 46. № 9. P. 13877–13885. https://doi.org/10.1016/j.ceramint.2020.02.181
- 7. *Rohde M., Cui Y., Ziebert C., Seifert H.J.* Thermophysical Properties of Lithium Aluminum Germanium Phosphate with Different Compositions // Int. J. Thermophis. 2020. V. 41. Art. 31. https://doi.org/10.1007/s10765-020-2607-0
- 8. Masquelier C., Wurm C., Rodriguez-Carvajal J., Gaubicher J., Nazar L. A Powder Neutron Diffraction Investigation of the Two Rhombohedral NASICON Analogues: γ-Na<sub>3</sub>Fe<sub>2</sub>(PO<sub>4</sub>)<sub>3</sub> and Li<sub>3</sub>Fe<sub>2</sub>(PO<sub>4</sub>)<sub>3</sub> // Chem. Mater. 2000. V. 12. № 2. P. 525–532. https://doi.org/10.1021/cm991138n

- 9. Weil M. Single Crystal Growth of CaMg<sub>2</sub>(SO<sub>4</sub>)<sub>3</sub> via Solid- / Gas-Phase Reactions and Its Nasicon-Related Crystal Structure // Cryst. Res. Technol. 2007. V. 42. № 11. P. 1058–1062. https://doi.org/10.1002/crat.200710975
- 10. Krivovichev S.V., Shcherbakova E.P., Nishanbaev T.P. The Crystal Structure of β-CaMg<sub>2</sub>(SO<sub>4</sub>)<sub>3</sub>, a Mineral Phase from Coal Dumps of the Chelyabinsk Coal Basin // Can. Mineral. 2010. V. 48. № 6. P. 1469–1475. https://doi.org/10.3749/canmin.48.5.1469
- 11. Петьков В.И., Сомов Н.В., Лавренов Д.А., Суханов М.В., Фукина Д.Г. Синтез и структура двух представителей фосфатов, образованных катионами металлов в степени окисления III, аналогов  $\alpha$ -CaMg<sub>2</sub>(SO<sub>4</sub>)<sub>3</sub> // Кристаллография. 2020. Т. 65. № 5. С. 745—750. https://doi.org/10.31857/S0023476120050173
- 12. Бубнова Р.С., Филатов С.К. Терморентгенография поликристаллов. Часть ІІ. Определение количественных характеристик тензора термического расширения: учебное пособие. СПб: С.-Петерб. гос. ун-т, 2013. 143 с.
- 13. *Петьков В.И., Шипилов А.С., Суханов М.В.* Тепловое расширение MZr<sub>2</sub>(AsO<sub>4</sub>)<sub>3</sub> и MZr<sub>2</sub>(TO<sub>4</sub>)<sub>x</sub>(PO<sub>4</sub>)<sub>3 x</sub> (M Li, Na, K, Rb, Cs; T As, V) // Неорган. материалы. 2015. Т. 51. № 11. С. 1163—1169. https://doi.org/10.7868/S0002337X15100127